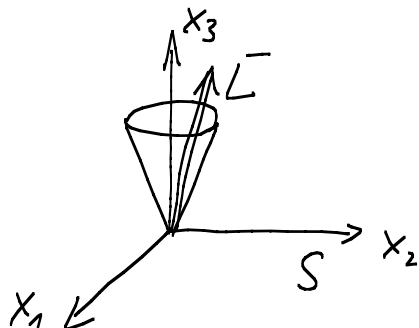


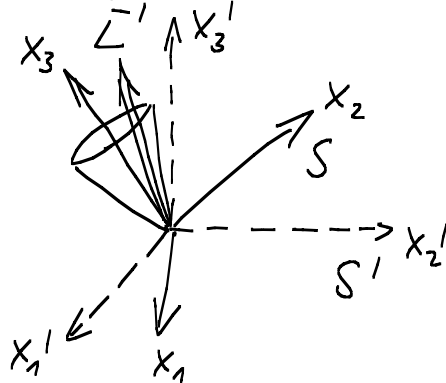
# 11 Der Kreisel

## 11.1 Eulersche Gleichungen

Körperfestes System



raumfestes System



Die Bewegung des Kreisels sei durch eine zeitabh. Drehmatrix  $R(t) \in SO(3)$  beschrieben. Entsprechend gilt:

$$\bar{L}' = R\bar{L}$$

(sowie, ganz allgemein, für jeden Vektor,  $\bar{v}' = R\bar{v}$ , wobei  $\bar{v}'/\bar{v}$  den Vektor im raum-/körperfesten System bezeichnet.)

Abschnitt 2.2  $\rightarrow \dot{\bar{L}}' = \bar{M}'$  (Drehmoment)

$$(R\bar{L})' = R\bar{M}$$

$$\dot{R}\bar{L} + R\dot{\bar{L}} = R\bar{M}$$

Erinnerung: Abschnitt 4.3  $\rightarrow \dot{R}\bar{r} = R(\bar{\omega} \times \bar{r})$

↑  
momentane Winkelgeschwindigkeit im rotierenden (körperfesten) Koord. System

$$R(\bar{\omega} \times \bar{L}) + R\dot{\bar{L}} = R\bar{M} \quad | \text{ mal } R^{-1} \text{ von links}$$

$$\dot{\bar{L}} = \bar{M} + \bar{L} \times \bar{\omega}$$

Mit  $\bar{L} = \mathbb{I}\bar{\omega}$  und  $\dot{\bar{L}} = \mathbb{I}\dot{\bar{\omega}}$  ( $\mathbb{I}$  zeitunabh. im körperfesten System) folgt:

$$\textcircled{H} \dot{\bar{\omega}} = \bar{M} + (\textcircled{H} \bar{\omega}) \times \bar{\omega}.$$

Wähle Körperfestes System = Hauptachsensystem;  $\textcircled{H}_{ij} = \begin{pmatrix} \textcircled{H}_1 & & \\ & \textcircled{H}_2 & \\ & & \textcircled{H}_3 \end{pmatrix}_{ij}$

$$\Rightarrow \left. \begin{array}{l} \textcircled{H}_1 \dot{\omega}_1 = M_1 + \omega_2 \omega_3 (\textcircled{H}_2 - \textcircled{H}_3) \\ \textcircled{H}_2 \dot{\omega}_2 = M_2 + \omega_3 \omega_1 (\textcircled{H}_3 - \textcircled{H}_1) \\ \textcircled{H}_3 \dot{\omega}_3 = M_3 + \omega_1 \omega_2 (\textcircled{H}_1 - \textcircled{H}_2) \end{array} \right\} \text{Euler-Gleichungen}$$

"zyklische Permutationen"

### 11.2 Freier Kreisel - geometrisch

Energieerhaltung:  $E = \frac{1}{2} \omega^T \textcircled{H} \omega = \text{const.}$

im Hauptachsensystem:  $E = \frac{1}{2} \sum_{i=1}^3 \textcircled{H}_i \omega_i^2$

Mit  $L_i = \sqrt{\textcircled{H}_i} \omega_i$  folgt daraus:  $E = \frac{1}{2} \sum_{i=1}^3 \frac{L_i^2}{\textcircled{H}_i}$

oder:  $\frac{L_1^2}{2E \textcircled{H}_1} + \frac{L_2^2}{2E \textcircled{H}_2} + \frac{L_3^2}{2E \textcircled{H}_3} = 1$

$$\frac{x^2}{a^2} + \frac{y^2}{b^2} + \frac{z^2}{c^2} = 1 \text{ beschreibt Ellipsoid mit Halbachsen } a, b, c$$

$\Rightarrow \bar{L}$  liegt auf Ellipsoid mit Halbachsen  $\sqrt{2E \textcircled{H}_i}$ .  $\parallel$

Drehimpulserhaltung:  $\bar{L}'$  ist konstant.  $\Rightarrow \bar{L}'^2 = \text{const.}$

$$\bar{L}' = R \bar{L} \Rightarrow \bar{L}'^2 = (R \bar{L})^2 = \bar{L}^2 = \text{const.}$$

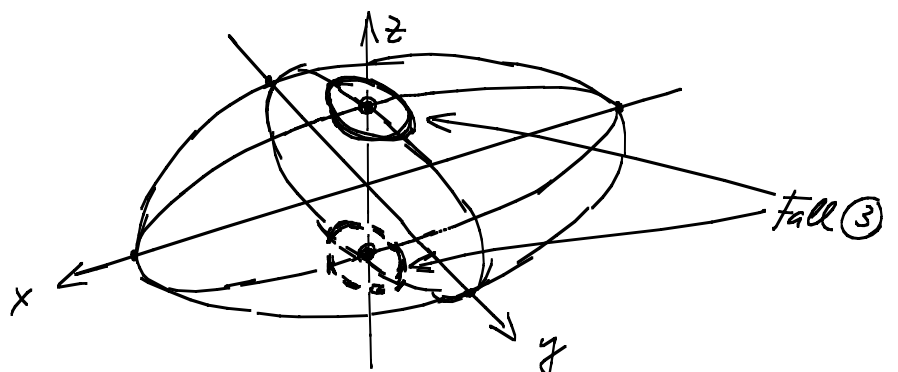
$\Rightarrow \parallel \bar{L}$  liegt auf Sphäre mit Radius  $|\bar{L}|$ .  $\parallel$

"Binet-Ellipsoid":

(O.B.d.A. sei

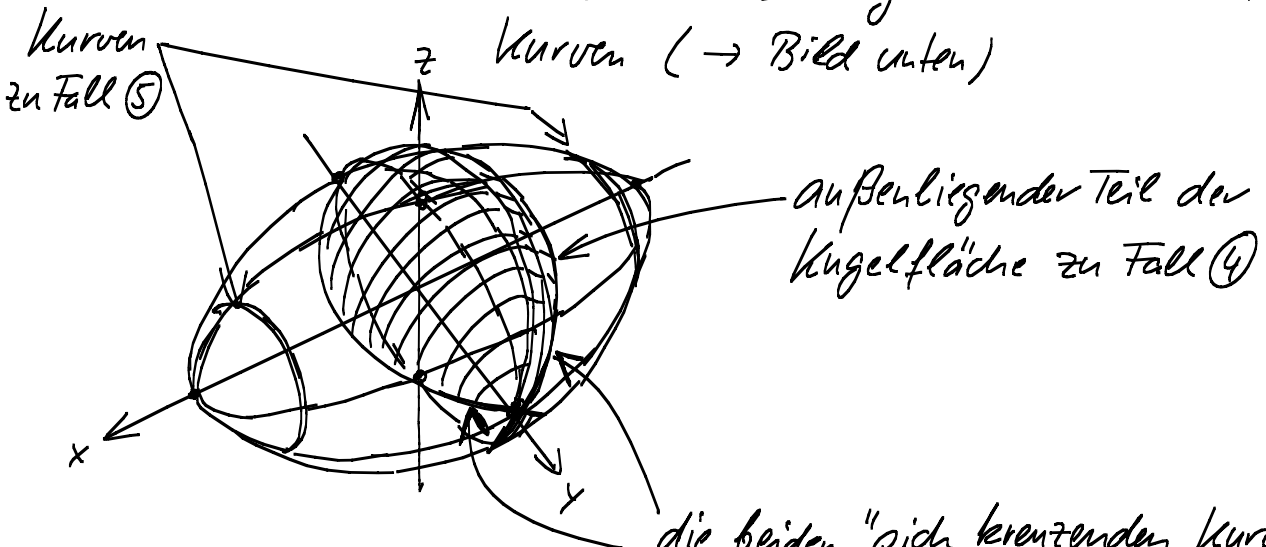
$$a > b > c;$$

$$\text{d.h. } \textcircled{H}_1 > \textcircled{H}_2 > \textcircled{H}_3)$$



- ①  $|\bar{L}| < \sqrt{2E \oplus_3}$  unmöglich
- ②  $|\bar{L}| = \sqrt{2E \oplus_3} \Rightarrow$  "einbeschriebene Kugel";  
 2 Berührungspunkte:  $\bar{L} = \pm (0, 0, |\bar{L}|)$   
 ( $\rightarrow$  Rotation mit  $\bar{\omega} = \text{const.}$  als Lösung möglich.)
- ③  $\sqrt{2E \oplus_3} < |\bar{L}| < \sqrt{2E \oplus_2} \Rightarrow$  Schnittmenge von Kugel & Ellipsoid  
 = 2 geschlossene Kurven  $\rightarrow$  obiges Bild  
 ( $\rightarrow \bar{L}$  bewegt sich (im körperfesten System)  
 entlang einer dieser Kurven;  
 $\bar{L}' = \text{const.} \Rightarrow$  Körper präzessiert (kräftefrei)  
 entsprechend im raumfesten System;  
 Es gibt kleine geschlossene Kurven um die  
 isolierten Punkte von ②  $\Rightarrow$  Bewegung von ②  
 ist stabil!)

- ④  $|\bar{L}| = \sqrt{2E \oplus_2} \Rightarrow$  Kugel berührt Ellipsoid bei  $\bar{L} = \pm (0, |\bar{L}|, 0)$   
 und schneidet entlang zweier sich kreuzender  
 Kurven ( $\rightarrow$  Bild unten)



die beiden "sich kreuzenden Kurven"  
 von Fall ④ entlang derer die  
 Kugel das Ellipsoid schneidet.

[noch zu Fall ④: Falls  $\bar{L}$  nicht an einem der beiden Berührungspunkte "feststeht"  
 führt es "großräumige" Bewegungen aus (entsprechend für den Körper im  
 raumfesten System  $\Rightarrow$  Das Festsitzen von  $\bar{L}$  an einem der Berührungs-

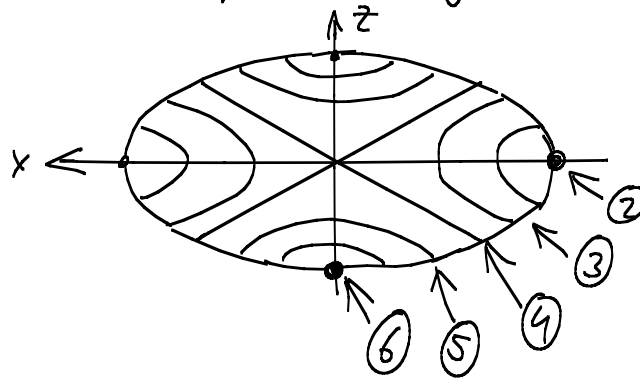
punkte ist nicht stabil.]

⑤  $\sqrt{2E \Theta_2} < |L| < \sqrt{2E \Theta_1} \Rightarrow$  2 Kurven; ähnlich zu ③;  
siehe obiges Bild.

⑥  $|L| = \sqrt{2E \Theta_1} \Rightarrow$  "umschriebene" Kugel; 2 Berührungspunkte;  
ähnlich zu Fall ② (stabiler Grenzfall  
zu ⑤.)

⑦  $|L| > \sqrt{2E \Theta_1}$  unmöglich

Abschließend: unser Ellipsoid von " $y = \infty$ " aus gesehen:



### 11.3 Poinsot Konstruktion (fortgeschritten)

Wir bleiben beim freien Kreisel und versuchen eine geometrische Analyse im raumfesten System:

$$T(\bar{\omega}') = \frac{1}{2} \omega'_i \Theta'_{ij} \omega'_j$$

wird als skalare Fkt. im Raum der Winkelgeschwindigkeiten aufgefaßt. "Äquienergieflächen" (vgl. "Äquipotentialflächen" oder "Höhenlinien") sind durch

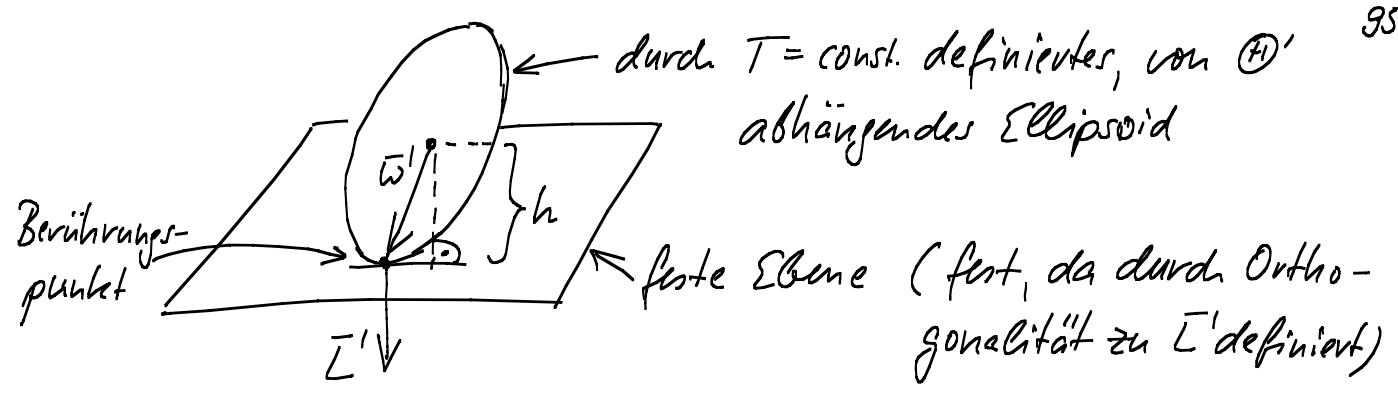
$$T(\bar{\omega}') = \text{const.}$$

definiert und beschreiben Ellipsoide.

$\bar{L}' = \bar{\nabla}_{\bar{\omega}'} T(\bar{\omega}')$  steht (Gradient!) senkrecht auf diesen Flächen.

$$\begin{aligned} (\text{Nebentechnung: } (\bar{\nabla}_{\bar{\omega}'} T)_i &= \frac{\partial}{\partial \omega'_i} \left( \frac{1}{2} \omega'_j \Theta'_{jk} \omega'_k \right) = \frac{1}{2} (\Theta'_{ik} \omega'_k + \omega'_j \Theta'_{ji}) \\ &= L'_i \end{aligned}$$

Dies läßt sich in folgendem Bild veranschaulichen:



Außerdem:  $h = \bar{\omega}' \cdot \bar{L}' / |\bar{L}'| = \bar{\omega}'^T \Theta' \bar{\omega}' / |\bar{L}'| = \frac{T}{|\bar{L}'|} = \text{const.}$

- ⇒ • Bewegung des Körpers im Raum kann verstanden werden aus der "Bewegung" des (mit dem Körper fest verbundenen) Trägheitsellipsoids im Raum der  $\bar{\omega}'$ .
- Die Bewegung des Trägheitsellipsoids ist ein Rollen\* auf einer festen Ebene, wobei das Zentrum des Ellipsoids in einer festen Höhe  $h$  über der Ebene fixiert ist.

(\* Rollen): Der Pkt. des Ellipsoids mit dem dieser die Ebene berührt hat jeweils Geschwindigkeit  $\bar{0}$ , da sich Körper (und damit Ellipsoid) in jedem Moment mit der Winkelgeschwindigkeit  $\bar{\omega}'$  (die zu diesem Pkt. zeigt) dreht. Dies schließt ein "Rutschen" auf der Ebene aus.)

11.4 Freier Kreisel - analytisch

Euler gl.-en:  $\Theta_1 \dot{\omega}_1 = \omega_2 \omega_3 (\Theta_2 - \Theta_3)$  & zykl. Permutationen

⇒ Falls 2 der 3 Komponenten  $\omega_1, \omega_2, \omega_3$  verschwinden, gilt  $\bar{\omega} = \text{const.}$  Wie bei 11.2 diskutiert, ist von diesen 3 "stationären" Lösungen der Fall der Rotation um die "mittlere" Hauptträgheitsachse instabil.

AB jetzt: zur Vereinfachung  $\Theta_1 = \Theta_2 < \Theta_3$  ("plattgedrückte" Kugel, ähnlich Erde)  
 $\equiv \Theta_0$

$$\Rightarrow \mathbb{H}_0 \dot{\omega}_1 = (\mathbb{H}_0 - \mathbb{H}_3) \omega_2 \omega_3$$

$$\mathbb{H}_0 \dot{\omega}_2 = -(\mathbb{H}_0 - \mathbb{H}_3) \omega_3 \omega_1$$

$$\mathbb{H}_3 \dot{\omega}_3 = 0 \Rightarrow \omega_3 = \text{const.} \Rightarrow \text{Die ersten beiden } \dot{\omega}\text{-en}$$

werden zu:  $\dot{\omega}_1 = -\alpha \omega_2$  mit  $\alpha \equiv -\omega_3 (1 - \mathbb{H}_3/\mathbb{H}_0)$   
 $\dot{\omega}_2 = \alpha \omega_1$

$$\Rightarrow \ddot{\omega}_1 = -\alpha \dot{\omega}_2 = -\alpha^2 \omega_1 \Rightarrow \omega_1 = A \cos(\alpha t + \varphi) \quad (\text{mit } \varphi = 0 \text{ o. B.d.A.})$$

Lösungen:  $\left\| \begin{aligned} \omega_1 &= A \cos \alpha t \\ \omega_2 &= A \sin \alpha t \end{aligned} \right\|$  (Bewegung von  $\bar{\omega}$  &  $\bar{L}$  auf einem Kreis entspricht der Erwartung von M.2 für ein symm. Ellipsoid.)

Beispiel: Erde:  $-(1 - \mathbb{H}_3/\mathbb{H}_0) \sim 0.003 \sim \epsilon$

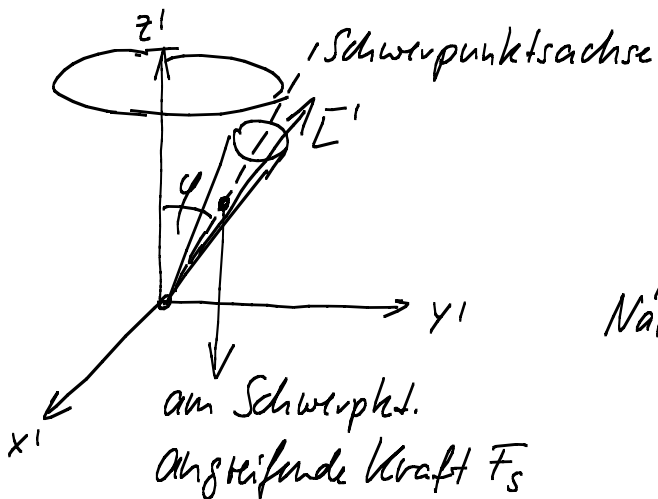
Präzessionsfrequenz:  $\alpha \sim \omega_{\text{Erde}} \cdot \epsilon$

$$T_{\text{Präz.}} \sim \frac{T_{\text{Erde}}}{\epsilon} \sim \frac{1 \text{ Tag}}{\epsilon} \sim 300 \text{ Tage} \sim 10 \text{ Monate}$$

experimentell: Obiges ist zu klein.

Man beobachtet den sogenannten "Chandler wobble" statt sauberer Präzession. Gründe sind u.a. Jahreszeiten einfluß & Deformierbarkeit der Erde.

M.5 Kreisel im Schwerfeld - vereinfacht



$\bar{M}'$  - orthogonal zur durch  $\hat{e}_z$  & Schwerpkt.sachse aufgespannten Ebene.

Näherungsannahme:  $\bar{L}' \parallel$  Schwerpkt.sachse

$$\Downarrow \\ \underline{\underline{\bar{L}' \perp \bar{M}'}}$$

Diese Idealisierung ( $\bar{L}' \perp \bar{M}'$ ) macht die "vereinfachte Behandlung" möglich: 97

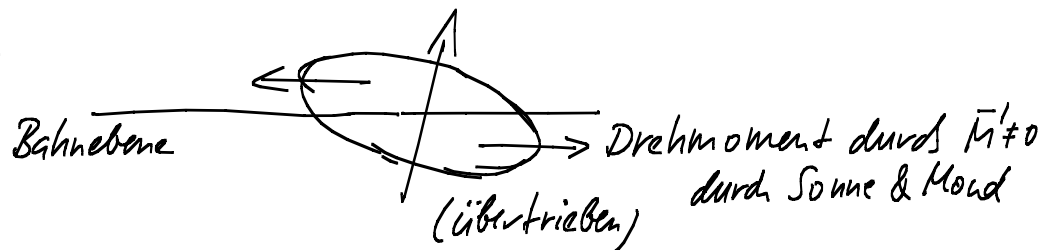
$\dot{\bar{L}}' = \bar{M}' \Rightarrow$  Spitze von  $\bar{L}'$  bewegt sich auf Kreis um  $\hat{e}_z$ .

Kreisradius:  $R = |\bar{L}'| \sin \varphi$ , Geschwindigkeit:  $v = |\bar{M}'|$

$$\Rightarrow \text{Periode } T = \frac{2\pi R}{v} = \frac{2\pi |\bar{L}'| \sin \varphi}{|\bar{M}'|}$$

(Unsere Idealisierung ist gut, so lange  $\frac{2\pi}{T}$  (Präzessionskreisfrequenz)  $\ll \omega_{\text{Schw.pts.achse}}$ , so daß der Beitrag der Präzession zu  $\bar{L}'$  vernachlässigbar ist.)

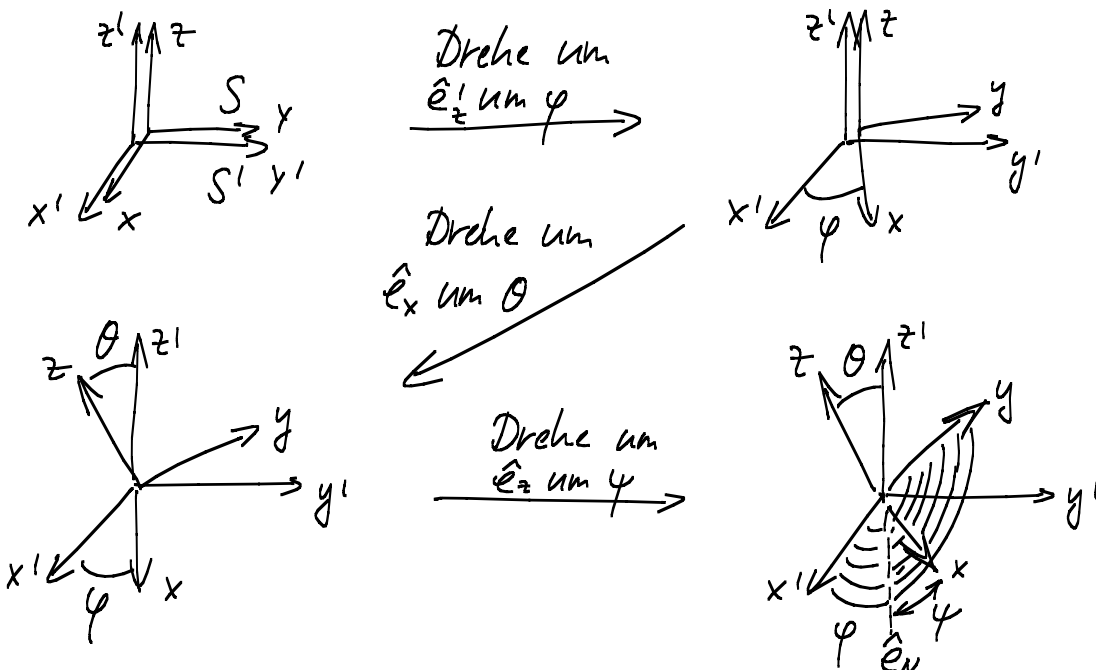
Beispiel Erde:



$\Rightarrow T \sim 26000$  Jahre ("Präzession der Äquinoktialpunkte"; "precession of the equinoxes")

### 11.6 Eulersche Winkel

Bequeme Art der Parametrisierung einer allg. Drehmatrix  $\hat{=}$  Lage eines Kreisels  $\hat{=}$  relative Lage zweier Koordinatensysteme  $S$  &  $S'$ :



( $\hat{e}_N$  charakterisiert die Schnittgerade von  $xy$  &  $x'y' - Ebene$ ) 98

Wenn sich nun  $\varphi, \psi, \theta$  zeitlich verändern (also aus obiger Lage heraus weiter gedreht wird), gilt:

$$\bar{\omega} = \dot{\varphi} \hat{e}_z' + \dot{\psi} \hat{e}_z + \dot{\theta} \hat{e}_N$$

[weil infinitesimale Drehungen (im Sinne von  $(R_{At}^{-1})$ ) additiv sind.]

### 11.7 Symm. Kreisel im Schwerfeld (Lagrange'scher Kreisel)

• Sei nun das System  $S$  von 11.6 das körperfeste Hauptachsensystem eines symm. Kreisels ( $\mathbb{H}_1 = \mathbb{H}_2 \equiv \mathbb{H}_0$ ).

• Offensichtlich sind  $\varphi \rightarrow \varphi + \Delta\varphi$ ;  $\psi \rightarrow \psi + \Delta\psi$  Symmetrien des Systems (und der Lagrangefunktion).

Grund:  $\varphi$ : wegen Rotationsymm. des Schwerfeldes

$\psi$ : wegen Rotationsymm. des Kreisels

$\Rightarrow$   $\varphi$  &  $\psi$  sind zyklische Koordinaten

$\Rightarrow$  Wir können  $\mathcal{L}$  für den Spezialfall  $\varphi = \psi = 0$  suchen. Dann gilt:

$$\hat{e}_N = \hat{e}_x; \quad \hat{e}_z' = \hat{e}_z \cos \theta + \hat{e}_y \sin \theta$$

$$\Rightarrow \bar{\omega} = \hat{e}_x \dot{\theta} + \hat{e}_y \dot{\varphi} \sin \theta + \hat{e}_z (\dot{\psi} + \dot{\varphi} \cos \theta)$$

$\omega_1, \omega_2, \omega_3$  - Komponenten von  $\bar{\omega}$  im körperfesten System

$$\text{Also: } T = \frac{1}{2} \left[ \mathbb{H}_0 (\omega_1^2 + \omega_2^2) + \mathbb{H}_3 \omega_3^2 \right] \quad (\text{mit } \mathbb{H} \text{ bezogen auf den festen Pkt. des Kreisels})$$

$$V = mgl \cos \theta$$

$\uparrow$  Abstand des Schwerpt.-es vom festen Punkt.

$$\Rightarrow \mathcal{L} = \frac{1}{2} \left[ \mathbb{H}_0 (\dot{\theta}^2 + \dot{\varphi}^2 \sin^2 \theta) + \mathbb{H}_3 (\dot{\psi} + \dot{\varphi} \cos \theta)^2 \right] - mgl \cos \theta$$

(= endgültiges Ergebnis, obwohl nur für  $\varphi = \psi = 0$  hergeleitet)



$$\frac{\partial \mathcal{L}}{\partial \varphi} = 0 \Rightarrow \frac{\partial \mathcal{L}}{\partial \dot{\varphi}} = L'_3 = \text{const.}; \quad \frac{\partial \mathcal{L}}{\partial \psi} = 0 \Rightarrow \frac{\partial \mathcal{L}}{\partial \dot{\psi}} = L_3 = \text{const.}'$$

$$\left\| \begin{aligned} L'_3 &= \dot{\varphi} (\Theta_0 \sin^2 \theta + \Theta_3 \cos^2 \theta) + \dot{\psi} \Theta_3 \cos \theta \\ L_3 &= \Theta_3 (\dot{\psi} + \dot{\varphi} \cos \theta) \end{aligned} \right\|$$

Auflösen nach  $\dot{\varphi}$  &  $\dot{\psi}$  und Einsetzen in

$$\left\| E = \frac{1}{2} [\Theta_0 (\dot{\theta}^2 + \dot{\varphi}^2 \sin^2 \theta) + \Theta_3 (\dot{\psi} + \dot{\varphi} \cos \theta)^2] + mgl \cos \theta \right\|$$

$$\bullet \quad \dot{\psi} + \dot{\varphi} \cos \theta = \frac{L_3}{\Theta_3}$$

$$\bullet \quad L'_3 = \dot{\varphi} (\Theta_0 \sin^2 \theta + \Theta_3 \cos^2 \theta) + (L_3 - \Theta_3 \dot{\varphi} \cos \theta) \cos \theta$$

$$\Rightarrow L'_3 - L_3 \cos \theta = \dot{\varphi} \Theta_0 \sin^2 \theta \Rightarrow \dot{\varphi} = \frac{L'_3 - L_3 \cos \theta}{\Theta_0 \sin^2 \theta}$$

$$\Rightarrow E = \frac{1}{2} \Theta_0 \dot{\theta}^2 + \frac{1}{2} \frac{(L'_3 - L_3 \cos \theta)^2}{\Theta_0 \sin^2 \theta} + \frac{1}{2} \frac{L_3^2}{\Theta_3} + mgl \cos \theta$$

Liefert:  $E = \frac{1}{2} \Theta_0 \dot{\theta}^2 + V_{\text{eff}}(\theta)$

$$\text{mit } V_{\text{eff}}(\theta) = mgl \cos \theta + \frac{L_3^2}{2\Theta_3} + \frac{(L'_3 - L_3 \cos \theta)^2}{2\Theta_0 \sin^2 \theta}$$

( $\rightarrow$  äquivalentes 1-dim. Problem; prinzipiell lösbar wie in 2.4 erklärt)

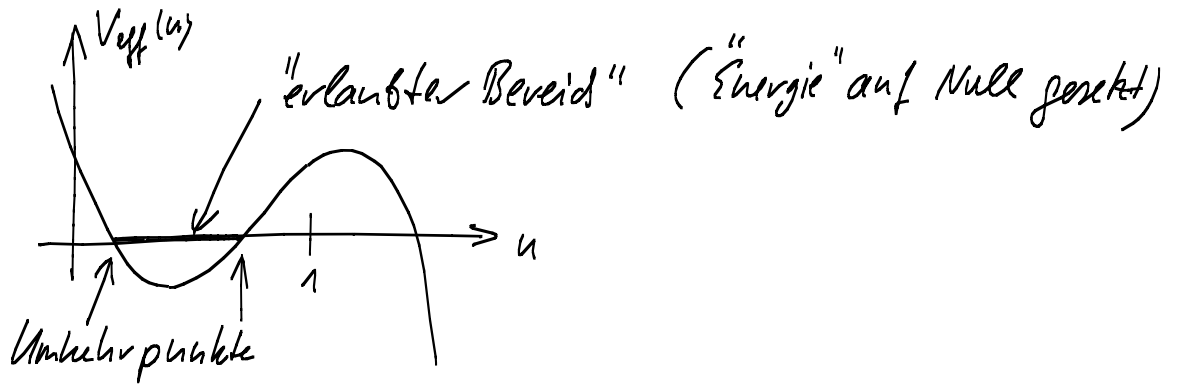
Bessere Koordinate:  $u = \cos \theta$  mit  $\dot{u} = -\dot{\theta} \sin \theta$

$$\Rightarrow E = \frac{1}{2} \Theta_0 \frac{\dot{u}^2}{\sin^2 \theta(u)} + V_{\text{eff}}(\theta(u))$$

$$0 = \dot{u}^2 + \frac{2}{\Theta_0} \left[ (mgl u + \frac{L_3^2}{2\Theta_3} - E) (1-u^2) + \frac{(L'_3 - L_3 u)^2}{2\Theta_0} \right]$$

Polynom 3. Grades in  $u$

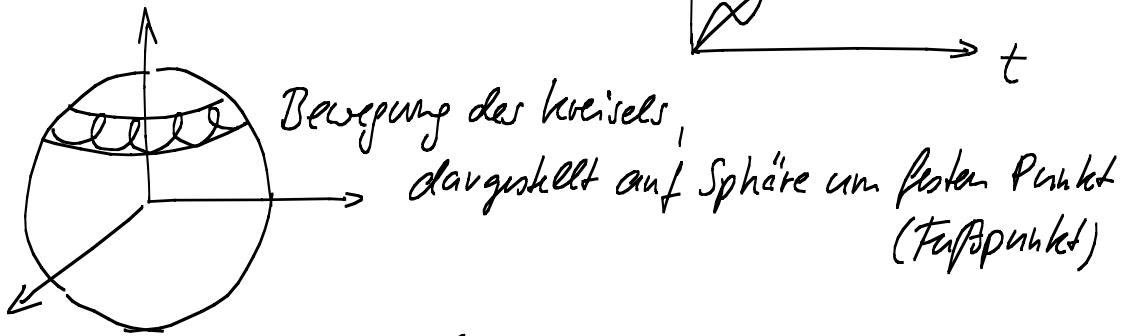
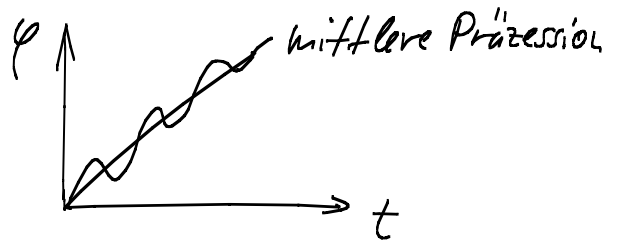
$$0 = \dot{u}^2 + \tilde{V}_{\text{eff}}(u)$$



Also:  $u$  oszilliert zwischen  $u_{min}$  &  $u_{max}$   
 $\Rightarrow \theta$  oszilliert zwischen  $\theta_{min}$  &  $\theta_{max}$ .

Währenddessen schreitet  $\varphi$  (ungleichmäßig) fort:

$$\dot{\varphi} = \frac{L_3' - L_3 \cos \theta}{I_3 \sin^2 \theta}$$



and möglich:

& Grenzfall dazwischen

(Dieser Grenzfall ist interessanterweise besonders praxisnah, da er einem angedrehten und dann in leicht schräger Lage losgelassenem Kreis entspricht.)